

УДК 537.311.322

© 1991

**РОЛЬ НЕЙТРАЛЬНЫХ ПРИМЕСЕЙ
ПРИ ТУННЕЛИРОВАНИИ ЭЛЕКТРОНОВ
ЧЕРЕЗ ДВОЙНОЙ ГЕТЕРОПЕРЕХОД**

B. И. Сугаков, С. А. Яцкевич

Рассмотрено рассеяние электронов, туннелирующих через двухбарьерный гетеропереход (ДБГП) на нейтральных примесях. Рассчитана плотность тока протуннелировавших носителей. При энергиях носителей, близких к энергии резонансного уровня, сечение рассеяния на примеси в ДБГП значительно превышает сечение рассеяния в объемном кристалле. Это связано с возрастанием амплитуды волновой функции в яме при этих энергиях. Уширение резонансного пика и уменьшение его максимума с ростом концентрации становятся заметными при относительной концентрации примесей порядка 10^{-6} — 10^{-5} . Эффект следует учитывать уже для стехиометрических дефектов, всегда присутствующих в бинарных соединениях. Численный счет проведен для ДБГП $\text{Al}_{0.4}\text{Ga}_{0.6}\text{As}/\text{GaAs}/\text{Al}_{0.4}\text{Ga}_{0.6}\text{As}$.

Свойства двухбарьерных гетеропереходов (ДБГП) интенсивно исследуются в настоящее время в связи с перспективой их использования в микроэлектронике [1–3]. В энергетическом спектре прошедших через ДБГП электронов наблюдаются резкие пики, связанные с квантованием энергетических уровней электронов в яме. С точки зрения использования ДБГП, важное значение имеют высота и ширина этих пиков. Существенное влияние на эти параметры оказывают следующие факторы: размеры барьеров, рассеяние на фонах, примесях, дефектах решетки. Процесс рассеяния носителей на примеси в ДБГП вследствие квантования уровней и сложного характера волновой функции значительно отличается от соответствующих процессов в бесконечном кристалле. Квантование уровней обусловливает изменение возможных каналов рассеяния, а сложный характер волновой функции приводит к зависимости сечения рассеяния от положения примеси в яме. В отличие от [4], где рассматривалось туннелирование носителей через потенциальный барьер, обусловленное наличием примесных уровней, в данной работе рассматривается рассеяние на примесях, расположенных в яме, ограниченной потенциальными барьерами. Поэтому главную роль при туннелировании играют состояния непрерывного спектра носителей у примеси, а не связанные, как в [4].

1. Постановка задачи и метод решения

Рассмотрим ДБГП, составленный из различных полупроводников, зоны проводимости которых расположены, как показано на рис. 1. В потенциальной яме хаотически расположены нейтральные примеси с относительной концентрацией c .

Стандартным методом решения задач о туннелировании носителей является нахождение волновой функции в каждом слое с помощью метода эффективной массы, а затем спивание решений на границах слоев.

Однако в окрестности дефекта, где в волновой функции присутствуют гармоники с $k \sim \pi/d$ (d — период решетки кристалла), метод эффективной массы неприменим. В этом случае волновую функцию следует искать в виде

$$\Phi(\mathbf{r}) = \sum_{\mathbf{m}} \Psi(\mathbf{r})|_{\mathbf{r}=\mathbf{m}} \varphi(\mathbf{r}-\mathbf{m}), \quad (1)$$

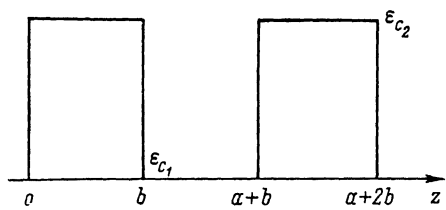
$\varphi(\mathbf{r}-\mathbf{m})$ — функция Ванье, центрированная на узле \mathbf{m} ; $\Psi(\mathbf{r})$ — удовлетворяет уравнению

$$\epsilon(-i\nabla)\Psi(\mathbf{r}) + U(\mathbf{n})\Psi(\mathbf{r}) + V\Psi(\mathbf{r}) = E\Psi(\mathbf{r}), \quad (1a)$$

где $V=W$ при $0 \leq z \leq b$, $a+b \leq z \leq a+2b$ и $V=0$ при $z \leq 0$, $b \leq z \leq a+b$, $z \geq a+2b$. Для точечных дефектов можно положить $U(\mathbf{n}) = U_0 C_{\mathbf{n}}$, где U_0 — сдвиг потенциальной энергии электрона при его расположении на примесном атоме, а $C_{\mathbf{n}}=1$, если в узле \mathbf{n} находится дефект, и $C_{\mathbf{n}}=0$, если узел \mathbf{n} занят атомом кристалла. Введем величину $\delta C_{\mathbf{n}} = C_{\mathbf{n}} - c$, где c — средняя концентрация дефектов. Тогда из (1) и (1a) следует

$$\Psi(\mathbf{r})|_{\mathbf{r}=\mathbf{n}} = \psi_0(\mathbf{r}) + U_0 \sum_{\mathbf{m}} \delta C_{\mathbf{m}} G(\mathbf{n}, \mathbf{m}) \Psi(\mathbf{r})|_{\mathbf{r}=\mathbf{m}}, \quad (2)$$

$\psi_0(\mathbf{r})$ является решением уравнения (1) с $U(\mathbf{n})=cU_0$, т. е. соответствует волновой функции уравнения Шредингера с усредненным потенциалом.



Второе слагаемое в (2) учитывает флуктуации в распределении примесей и соответствует волновой функции частицы, рассеянной флуктуациями дефектов.

Рис. 1. Двухбарьерный гетеропереход.
 ϵ_{c1} — дно зоны проводимости GaAs, $\epsilon_{c2} = Al_xGa_{1-x}As$, $W = \epsilon_{c2} - \epsilon_{c1}$.

Уравнение для функции Грина $G(\mathbf{n}, \mathbf{m})$, где \mathbf{n} и \mathbf{m} пробегают по всем узлам решетки, может быть записано в виде

$$(\hbar^2 q^2 / 2m^*) G(\mathbf{n}, \mathbf{m}) - \epsilon(-i\nabla) G(\mathbf{n}, \mathbf{m}) = \delta_{\mathbf{n}, \mathbf{m}}, \quad (3)$$

m^* — эффективная масса носителей, $q^2 = (2m^*/\hbar^2)(E - cU_0 - V)$, $\epsilon(\mathbf{k})$ — закон дисперсии.

Поскольку $\psi_0(\mathbf{r})$ соответствует случаю однородного потенциала в каждой области, то в этом случае может быть применен метод эффективной массы. Решение для $\psi_0(\mathbf{r})$ представляется в стандартной форме суперпозиции падающих и отраженных волн в яме и выходящих волн за пределами ДБГП. При этом падающий поток направлен вдоль z и нормирован на $\hbar k/m^*$.

Определим плотность тока прошедших частиц. Поскольку при этом значения волновой функции определяются в области, далекой от дефекта, можно в функции Грина перейти от узельного приближения к континуальному, полагая $G(\mathbf{n}, \mathbf{m}) \rightarrow G(\mathbf{r}, \mathbf{m})$. Тогда с учетом (2) плотность тока носителей в области $z \geq a+2b$ может быть записана в виде

$$\mathbf{j}(\mathbf{r}) = \mathbf{j}_{00}(\mathbf{r}) + \mathbf{j}_{10}(\mathbf{r}) + \mathbf{j}_{01}(\mathbf{r}) + \mathbf{j}_{11}(\mathbf{r}) + \text{к. с.}, \quad (4)$$

где

$$\begin{aligned} \mathbf{j}_{00} &= -\frac{\hbar}{2m^*i} \psi_0^* \nabla \psi_0, \quad \mathbf{j}_{01} = \frac{\hbar}{2m^*i} \psi_0^* \nabla U_0 \sum_{\mathbf{m}} \delta C_{\mathbf{m}} G(\mathbf{r}, \mathbf{m}) \Psi(\mathbf{m}), \\ \mathbf{j}_{10} &= \frac{\hbar}{2m^*i} (\nabla \psi_0) U_0 \sum_{\mathbf{m}} \delta C_{\mathbf{m}} G^*(\mathbf{r}, \mathbf{m}) \Psi^*(\mathbf{m}); \\ \mathbf{j}_{11} &= \frac{\hbar}{[2m^*i]} U_0^2 \sum_{\mathbf{m}, \mathbf{m}'} \delta C_{\mathbf{m}} \delta C_{\mathbf{m}'} G^*(\mathbf{r}, \mathbf{m}) \nabla G(\mathbf{r}, \mathbf{m}') \Psi^*(\mathbf{m}) \Psi(\mathbf{m}'). \end{aligned}$$

Волновую функцию $\Psi(\mathbf{m})$ (см. (2)) можно представить в виде бесконечного ряда. Подставив этот ряд в (4), получаем следующее выражение для плотности тока:

$$\begin{aligned}
\mathbf{j}(\mathbf{r}) = & \frac{\hbar}{2m^*i} \left\{ \psi_0^* \nabla \psi_0 + \psi_0^* U_0 \nabla \left\{ \sum_{\mathbf{m}} \delta C_{\mathbf{m}} G(\mathbf{r}, \mathbf{m}) \psi_0(\mathbf{m}) + \right. \right. \\
& + U_0 \sum_{\mathbf{m}' \neq \mathbf{m}} \delta C_{\mathbf{m}} \delta C_{\mathbf{m}'} G(\mathbf{r}, \mathbf{m}) G(\mathbf{m}, \mathbf{m}') \psi_0(\mathbf{m}') + \dots \left. \right\} + \\
& + (\nabla \psi_0) U_0 \left\{ \sum_{\mathbf{m}} \delta C_{\mathbf{m}} G^*(\mathbf{r}, \mathbf{m}) \psi_0(\mathbf{m}) + U_0 \sum_{\mathbf{m}, \mathbf{m}'} \delta C_{\mathbf{m}} \delta C_{\mathbf{m}'} G^*(\mathbf{r}, \mathbf{m}) \times \right. \\
& \times G^*(\mathbf{m}, \mathbf{m}') \psi_0^*(\mathbf{m}') + \dots \left. \right\} + U_0^2 \sum_{\mathbf{m}, \mathbf{m}_1} \delta C_{\mathbf{m}} \delta C_{\mathbf{m}_1} G^*(\mathbf{r}, \mathbf{m}) \nabla G(\mathbf{r}, \mathbf{m}_1) \times \\
& \times \left\{ \psi_0(\mathbf{m}) + U_0 \sum_{\mathbf{m}_1} \delta C_{\mathbf{m}_1} G(\mathbf{m}, \mathbf{m}') \psi_0(\mathbf{m}') + \dots \right\} \times \\
& \times \left\{ \psi_0^*(\mathbf{m}_1) + U_0 \sum_{\mathbf{m}_1} \delta C_{\mathbf{m}_1} G^*(\mathbf{m}_1, \mathbf{m}_1') \psi_0^*(\mathbf{m}_1') + \dots \right\} + \text{к. с.} \quad (5)
\end{aligned}$$

Проведем усреднение плотности тока по распределению примесей аналогично выполненному в [5] усреднению функции Грина экситонов

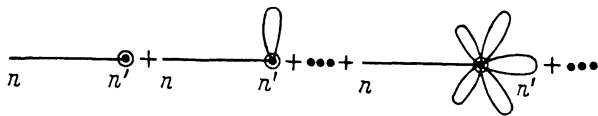


Рис. 2. Диаграммы, дающие основной вклад в ток (см. (7)).

в кристалле с примесью. Считая, что $c \ll 1$, можно ограничиться учетом слагаемых $\sim c$. При этом ряд для $\mathbf{j}(\mathbf{r})$ может быть просуммирован с помощью диаграммной техники. Очевидно, что в этом случае дадут вклад только диаграммы (рис. 2), где $\overline{n \ n'}$ соответствует $U_0 G(n, n')$, n^\odot соответствует $\psi_0(n)$.

При усреднении вклад будут давать только слагаемые $\langle \delta C_{n_1} \delta C_{n_2} \times \dots \delta C_{n_k} \rangle$, у которых индексы n_i совпадают частично или полностью. При этом, как показано в [5], имеет место соотношение

$$\langle \delta C_n^l \rangle = (1 - c)^l c + (-c)^l (1 - c). \quad (6)$$

Тогда вычисление сумм по \mathbf{m} сводится к суммированию геометрической прогрессии, и в результате получаем

$$\begin{aligned}
\langle \mathbf{j} \rangle = & \frac{\hbar}{2m^*i} \left\{ \psi_0^* \nabla \psi_0 + c(1 - c) U_0^2 \sum_{\mathbf{m}} G(\mathbf{m}, \mathbf{m}) \times \right. \\
& \times \frac{(\nabla G(\mathbf{r}, \mathbf{m}) \psi_0(\mathbf{m})) \psi_0^*(\mathbf{r}) + (\nabla \psi_0) G^*(\mathbf{r}, \mathbf{m}) \psi_0^*(\mathbf{m})}{[1 - (1 - c) U_0 G(\mathbf{m}, \mathbf{m})][1 + c U_0 G(\mathbf{m}, \mathbf{m})]} + \\
& + c(1 - c) U_0^2 \sum_{\mathbf{m}} \left\{ \frac{1 - c}{[1 - U_0(1 - c) G(\mathbf{m}, \mathbf{m})]^2} + \frac{c}{[1 + c U_0 G(\mathbf{m}, \mathbf{m})]^2} \right\} \times \\
& \times G^*(\mathbf{r}, \mathbf{m}) \nabla G(\mathbf{r}, \mathbf{m}) |\psi_0(\mathbf{m})|^2. \quad (7)
\end{aligned}$$

Поскольку сомножители c и $1 - c$ входят симметрично, то результаты одинаково справедливы как для случая $c \ll 1$, так и для $1 - c \ll 1$. Однако в дальнейшем будем считать $c \ll 1$ и пренебрежем слагаемыми $\sim c^2$.

Функция Грина (3) может быть представлена в виде

$$G(\mathbf{n}, \mathbf{n}_i) = \frac{1}{N} \sum_{\mathbf{k}} e^{i\mathbf{k}_i(\mathbf{n}_i - \mathbf{n}_{iz})} g(n_s, n_{iz}). \quad (8)$$

При вычислении функции Грина можно воспользоваться тем, что на больших расстояниях при $|\mathbf{n} - \mathbf{n}_i| \gg d$, где d — период решетки, основной вклад дают слагаемые с малыми \mathbf{k} . В этом случае переменную \mathbf{k} можно считать квазинепрерывной и в (8) перейти к интегрированию по \mathbf{k} . Получаем

$$g = \gamma_i(z_1) e^{-ik_{\perp}z}, \quad z \leq 0,$$

$$g = \alpha_1^+(z_i) e^{ix_{\perp}z} + \alpha_1^-(z_i) e^{-ix_{\perp}z}, \quad 0 \leq z \leq b,$$

$$g = \beta^+(z_i) e^{iq_{\perp}z} + \beta^-(z_i) e^{-iq_{\perp}z} + i e^{iq_{\perp}|z-z_i|/2q_{\perp}}, \quad b \leq z \leq a+b,$$

$$g = \alpha_2^+(z_i) e^{ix_{\perp}z} + \alpha_2^-(z_i) e^{-ix_{\perp}z}, \quad a+b \leq z \leq a+2b,$$

$$g = \gamma_2(z_i) e^{ik_{\perp}z}, \quad z \geq a+2b, \quad (9)$$

где

$$k_{\perp} = \sqrt{\frac{2m_a^*E}{\hbar^2} - k_x^2 - k_y^2}, \quad x_{\perp} = \sqrt{\frac{2m_b^*}{\hbar^2}(W-E) + k_x^2 + k_y^2},$$

$$q_{\perp} = \sqrt{\frac{2m_a^*}{\hbar^2}(E - cU_0) - k_x^2 - k_y^2}.$$

Коэффициенты α_i^{\pm} , β^{\pm} , γ находятся из условий непрерывности функции Грина и ее производной по z на границах раздела слоев. При вычислении $G(\mathbf{m}, \mathbf{m})$ основной вклад в сумму по \mathbf{k} дают слагаемые с $|\mathbf{k}| \sim \pi/d$. В этом случае для точек \mathbf{m} , расстояние от которых до границ раздела превышает период решетки, можно положить

$$G(\mathbf{m}, \mathbf{m}) = \frac{1}{N} \sum_{\mathbf{k}} \frac{1}{E - cU_0 - \epsilon(\mathbf{k})}. \quad (10)$$

Вычисление $G(\mathbf{m}, \mathbf{m})$ было выполнено при косинусоидальном законе дисперсии

$$\epsilon(\mathbf{k}) = \epsilon_0 - 2M(\cos k_x d + \cos k_y d + \cos k_z d). \quad (11)$$

Таким образом, окончательно получаем следующую формулу для плотности тока:

$$\langle j \rangle = (\hbar k/m^*) \{ |\gamma_2|^2 (1 + \alpha(U_0, E)) + \beta(U_0, E) \}. \quad (12)$$

Здесь

$$\gamma_2 = -16(sx)^2 k q e^{-ik(a+2b)} / \Delta(k, q, x),$$

$$\Delta(k, q, x) = -2i(f_2^2 - q^2 f_1^2) \sin qa + 2q f_1 f_2 \cos qa,$$

$$f_1 = 2 \{ ik \operatorname{sh} xb - (sx) \operatorname{ch} xb \}, \quad f_2 = 2sx \{ ik \operatorname{ch} xb - (sx) \operatorname{sh} xb \},$$

$$\begin{aligned} \alpha(U_0, E) &= \frac{U_0^2 G(0) ca}{(1 - U_0 G(0)) 2sx k q} \operatorname{Im} \left\{ \left(s_1 \frac{e^{iq a} \sin qa}{qa} + s_2 \right) e^{iq b} \beta^+ + \right. \\ &\quad \left. + \left(s_2 \frac{e^{-iq a} \sin qa}{qa} + s_1 \right) e^{-iq b} \beta^- \right\}, \end{aligned}$$

$$s_1 = \frac{q f_1 - i f_2}{2}, \quad s_2 = \frac{q f_1 + i f_2}{2}, \quad s = \frac{m_a^*}{m_b^*}, \quad G(0) = G(\mathbf{m}, \mathbf{m}),$$

$$\beta(U_0, E) = 8 \left(\frac{U_0}{\pi E} \right)^2 k^4 a d^3 \int \frac{dk_x dk_y dk_{\perp} R(k_{\perp}, x_{\perp})}{|\Delta(k_{\perp}, q_{\perp}, x_{\perp})|^2},$$

где $\Delta(k_{\perp}, q_{\perp}, x_{\perp})$ получается из $\Delta(k, q, x)$ заменой $k \rightarrow k_{\perp}$, $q \rightarrow q_{\perp}$, $x \rightarrow x_{\perp}$

$$R(k_{\perp}, x_{\perp}) = \{|s_1(k_{\perp})|^2 + |s_2(k_{\perp})|^2\} \frac{\sin ka}{ka} \operatorname{Re}(\beta^+(\beta^-)^* e^{2ikb+ika}) +$$

$$+ (|\beta^+|^2 + |\beta^-|^2) \frac{\sin q_{\perp} a}{q_{\perp} a} \operatorname{Re}(s_1 s_2^* e^{iq a}) +$$

$$+ \frac{\sin(k+q_{\perp}) a}{(k+q_{\perp}) a} \operatorname{Re}(s_1 \beta^- (\beta^+ s_2)^* e^{2ikb+i(k+q_{\perp}) a}) +$$

$$+ \frac{\sin(k - q_{\perp}) a}{(k - q_{\perp}) a} \operatorname{Re} \left(s_1 \beta^- (\beta^+ s_2)^* e^{-2i k b - i(k - q_{\perp}) a} \right) \Big\},$$

$$\beta^+ = \frac{8iksx e^{ik(a+2b)-iqa}}{\Delta(k, q, x)} \{ sxi(k+q) \operatorname{ch} xb - (s^2x^2 - kq) \operatorname{sh} xb \},$$

$$\beta^- = \frac{8iksx e^{ik(a+2b)+iqa}}{\Delta(k, q, x)} \{ sxi(q-k) \operatorname{ch} xb + (s^2x^2 + kq) \operatorname{sh} xb \}.$$

Формула (12) позволяет рассчитать поток носителей, выходящих из ДБГП, в зависимости от концентрации и потенциала примеси.

2. Результаты расчетов и обсуждение

Расчеты были выполнены для гетероструктуры $\text{Al}_{0.4}\text{Ga}_{0.6}\text{As}/\text{GaAs}/\text{Al}_{0.4}\text{Ga}_{0.6}\text{As}$. Параметры ДБГП были взяты следующие [6]: $m_a^*/m=0.067$, $m_b^*/m=0.1$, $W=0.424$ эВ (рис. 3, 4).

Расчет показал, что с увеличением концентрации примесей максимум, соответствующий энергии резонансного уровня, смещается и уменьшается по величине, причем как сдвиг, так и уменьшение максимума зависят

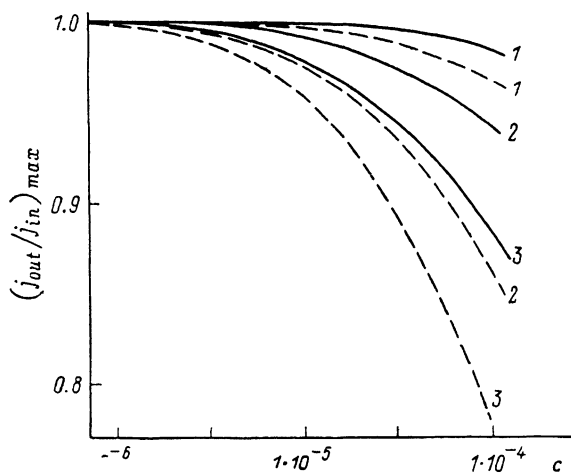


Рис. 3. Зависимость $(j_{\text{out}}/j_{\text{in}})_{\text{max}}$ от концентрации и потенциала примеси.

Сплошные линии — $U_0=0.15$, штриховые — 0.25 эВ. $b=50$ Å, $a=40$ (1), 60 (2), 80 Å (3).

от концентрации, величины и знака потенциала примеси. Более подробно зависимость максимального значения отношения $j_{\text{out}}/j_{\text{in}}$ (j_{out} — выходящий поток, j_{in} — падающий) от параметров ДБГП, концентрации и величины потенциала примеси представлена на рис. 3, откуда видно, что отношение $j_{\text{out}}/j_{\text{in}}$ зависит также от ширины ямы, причем это отношение при постоянных U_0 и c убывает с ростом ширины ямы. Объясняется это тем, что с увеличением ширины ямы понижается значение резонансной энергии и связанное с этим возрастание амплитуды волновой функции в яме приводит к тому, что эффекты, связанные с рассеянием, возрастают с увеличением ширины ямы.

Наряду с уменьшением отношения $j_{\text{out}}/j_{\text{in}}$ рассеяние (рис. 4) приводит к уширению резонансного пика. Более того, это уширение является несимметричным — пик «затянут» в сторону более высоких энергий. Понять это можно из следующих соображений: при бесконечно высоких барьерах в яме при $E > E_{\text{рез}}$ существуют двумерные зоны с волновым вектором, параллельным границе раздела слоев. При туннелировании происходит рассеяние электронов на примесях из начального состояния в эти состояния.

Из полученных результатов можно также оценить роль отдельной примеси при рассеянии носителей, туннелирующих через гетеропереход. В качестве грубой оценки можно воспользоваться следующей формулой:

$$\sigma \sim \frac{j_0 - j_s}{j_{in}} \frac{1}{Na},$$

где j_0 — плотность тока носителей, протуннелировавших через ДБГП, в отсутствие рассеяния; j_s — плотность тока протуннелировавших носителей при учете рассеяния в яме; N — концентрация примесей; a — ширина ямы. Отсюда при $E = E_{pes}$, $N = 10^{16} \text{ см}^{-3}$ получаем (рис. 4) $\sigma \sim 7 \cdot 10^4 \text{ Å}^2$. Однако полученная таким образом величина быстро убывает с ростом $|E - E_{pes}|$ и может даже менять знак.

Сечение рассеяния, вычисленное при тех же параметрах для объемного кристалла по формуле

$$\sigma = U_0^2 m^* / \pi \hbar^4 [1 - U_0 G(0)]^2, \quad (13)$$

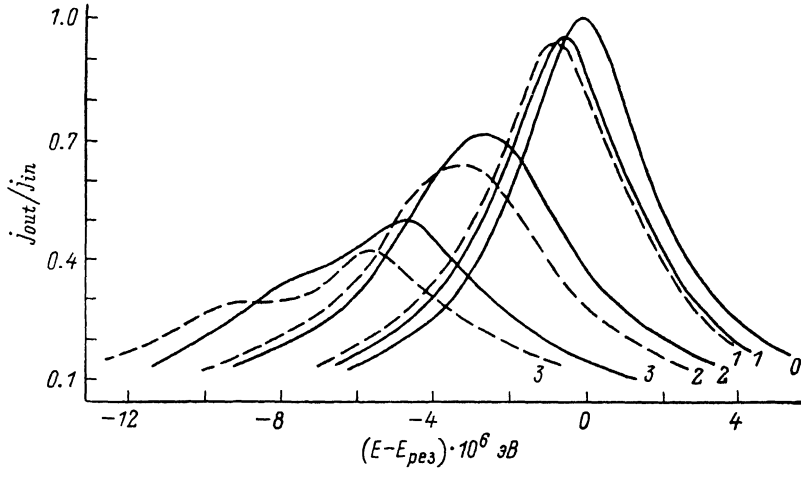


Рис. 4. Зависимость j_{out}/j_{in} от $E - E_{pes}$ для различных значений концентрации и потенциала примеси.

Сплошные линии — $U_0 = 0.8$, штриховые — 1.0 эВ . $c = 0$ (0), $1 \cdot 10^{-5}$ (1), $5 \cdot 10^{-6}$ (2), $1 \cdot 10^{-6}$ (3). $b = 50$, $a = 70 \text{ Å}$.

где U_0 — потенциал примеси, m^* — эффективная масса электрона, дает $\sigma = 2.27 \cdot 10^{-1} \text{ Å}^2$. Это намного меньше сечения рассеяния в гетеропереходе при резонансе. Такое различие может быть объяснено возрастанием волновой функции носителей в квантовой яме при резонансном туннелировании в области энергий $E \sim E_{pes}$.

В бинарных соединениях всегда присутствуют стехиометрические дефекты. По данным [7], концентрация таких дефектов составляет $10^{16} - 10^{17} \text{ см}^{-3}$ ($c \sim 10^{-6} - 10^{-5}$). Согласно проведенным расчетам (рис. 4), при таких концентрациях наличие примесей должно учитываться при рассмотрении туннелирования через ДБГП. Наличие примесей приводит к изменению ВАХ приборов на основе ДБГП. Если воспользоваться формулой для максимального значения крутизны ВАХ ($g_- = \partial I / \partial U$), соответствующей участку с отрицательной дифференциальной проводимостью, приведенной в [8]

$$|g_-| \simeq \frac{e^2 m^*}{4 \pi \hbar^3} \varepsilon_F \frac{\Gamma_0^2}{\Gamma^2}, \quad (14)$$

где ε_F — энергия Ферми, Γ_0 — ширина резонансного пика в отсутствие рассеяния, Γ — ширина резонансного пика при учете рассеяния, то из наших данных можно получить, что рассеяние приводит к уменьшению g_- в 1.5—2 раза даже при учете только стехиометрических дефектов.

С п и с о к л и т е р а т у р ы

- [1] Ricco B., Azbel M. Ya. // Phys. Rev. B. 1984. V. 29. N 4. P. 1970—1981.
- [2] Liu H. C., Coon D. D. // Appl. Phys. Lett. 1987. V. 50. N 18. P. 1987—1990.
- [3] Jonsonne M., Grincwaig A. // Appl. Phys. Lett. 1987. V. 51. N 24. P. 1729—1732.
- [4] Лифшиц И. М., Кирпиченков В. Я. // ЖЭТФ. 1979. Т. 77. № 3. С. 989—1002.
- [5] Сугаков В. И. // ФТТ. 1968. Т. 10. № 10. С. 2995—3004.
- [6] Malliot C., Yia-Chung Chang, McGill P. C. // Phys. Rev. B. 1982. V. 26. N 8. P. 4449—4457.
- [7] Lombos B. A., Lawrence M. F., Dodelet J. P., Côté D., Averous M. // Phys. St. Sol. (a), 1986. V. 96, N 2. P. 663—675.
- [8] Coon D. D., Li H. C. // Appl. Phys. Lett. 1984. V. 49. N 2. P. 94—97.

Институт ядерных исследований АН УССР
Киев

Поступило в Редакцию
14 августа 1990 г.
